

# Posicionamento

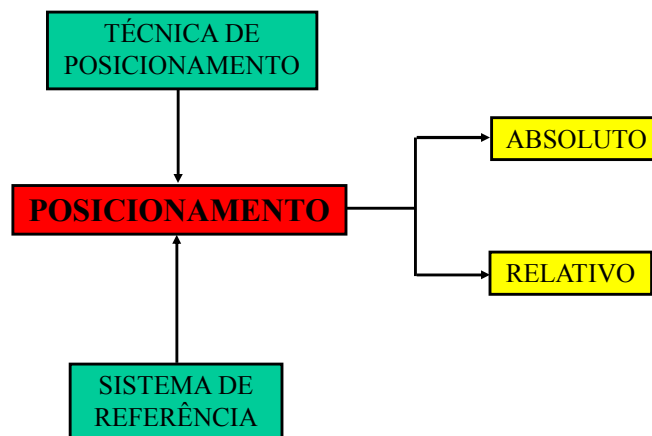
**1.1 Definição:** determinação da posição de um qualquer ponto num qualquer sistema de referência, onde as respectivas coordenadas são obtidas por um dado método (matemático), recorrendo a uma determinada técnica de observação (instrumental).

- A posição deve ser independente da técnica utilizada, ao passo que a respectiva precisão de posicionamento é dependente do método e técnica utilizados.

**1.2 Tipos de Posicionamento:** Absoluto e Relativo.

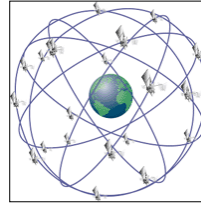
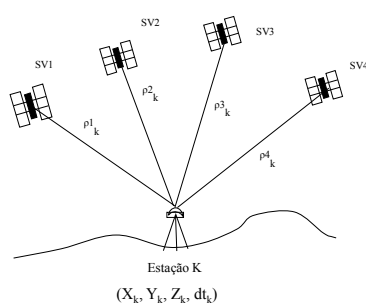
**1.3 O Posicionamento é exemplo do Problema Directo da geodesia:** determinar as coordenadas a partir das observações nas estações, ou entre os pontos de referência e as estações.

# Posicionamento



# Posicionamento Absoluto

## 2.1 Exemplo GPS: determinação directa das coordenadas geodésicas de um ponto com um único receptor.



**Absoluto (1 estação)**

$$\begin{cases} P_k^1 = \sqrt{(X^1 - X_k)^2 + (Y^1 - Y_k)^2 + (Z^1 - Z_k)^2} + Cdt_k \\ P_k^2 = \sqrt{(X^2 - X_k)^2 + (Y^2 - Y_k)^2 + (Z^2 - Z_k)^2} + Cdt_k \\ P_k^3 = \sqrt{(X^3 - X_k)^2 + (Y^3 - Y_k)^2 + (Z^3 - Z_k)^2} + Cdt_k \\ P_k^4 = \sqrt{(X^4 - X_k)^2 + (Y^4 - Y_k)^2 + (Z^4 - Z_k)^2} + Cdt_k \end{cases}$$

Geodesia e Aplicações – Aula 1

FCUL-EG

3

# Posicionamento Absoluto

## 2.2 Exemplo Astronomia Geodésica: determinação directa das coordenadas astronómicas ( $\Phi, \Lambda$ ) de uma estação por observação de estrelas nas sua passagem meridiana ou no cruzamento do almucântara $Z=30^\circ$ .

Dados1: posições médias aparentes das estrelas ( $\alpha, \delta$ ) das Efemérides FK5;

Dados2: TsidMG,  $X_p, Y_p, \Delta TUC$

Observações: distâncias zenitais ( $Z$ ) e TUC

Método da Latitude: Pares de Estrela em passagens superiores opostas (Talcot);

Método da Longitude: Registos TU em posições simétricas na culminação superior;

Métodos combinado: Cruzamento com o almucântara  $Z=30^\circ$ .

Geodesia e Aplicações – Aula 1

FCUL-EG

4

# Posicionamento relativo

## 3. Método Terrestre

a) Este posicionamento resulta da observação por métodos directos e/ou indirectos da distância, azimuth e distância zenital (coordenadas polares no sistema de referência geodésico local) de uma estação para outra:

$$\varphi_2 = \varphi_1 + \Delta\varphi_{12}(d, \alpha, \beta)$$

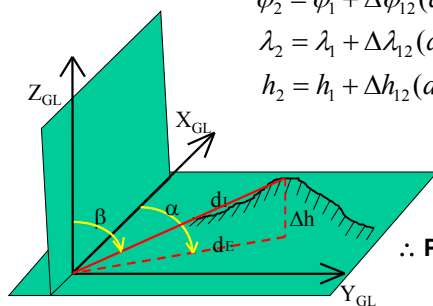
$$\lambda_2 = \lambda_1 + \Delta\lambda_{12}(d, \alpha, \beta)$$

$$h_2 = h_1 + \Delta h_{12}(d, \alpha, \beta)$$

$$X_2 = X_1 + \Delta X_{12}(d, \alpha, \beta)$$

$$Y_2 = Y_1 + \Delta Y_{12}(d, \alpha, \beta)$$

$$Z_2 = Z_1 + \Delta Z_{12}(d, \alpha, \beta)$$



∴ Problema Directo da Geodesia

Geodesia e Aplicações – Aula 1

FCUL-EG

5

# Posicionamento relativo

## 3. Método Terrestre



Geodesia e Aplicações – Aula 1

FCUL-EG

6

# Posicionamento relativo

## 3. Método Terrestre

Campanha  
Geodésica dos  
Açores (Filomena  
Aguiar, Faial  
1987)



Geodesia e Aplicações – Aula 1

FCUL-EG

7

# Posicionamento relativo

## 3.1 Terrestre Tridimensional – com $(\Phi, \Lambda)$

a) Vector topocêntrico (inter-estação) de  $P_i$  para  $P_j$ :

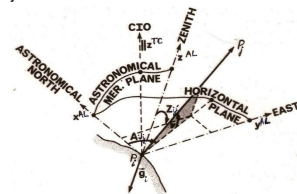
$$\Delta \vec{r}_{ij}^{AL} = \Delta \vec{r}_{ij} \cdot \vec{u}_{ij}^{AL} = d_{ij} \begin{bmatrix} \sin Z_{ij} \cos A_{ij} \\ \sin Z_{ij} \sin A_{ij} \\ \cos Z_{ij} \end{bmatrix}$$

b) transformação para o sistema TC

$$\Delta \vec{r}_{ij}^{TC} = R_3(\pi - \Lambda_i) \cdot R_2\left(\frac{\pi}{2} - \Phi_i\right) \cdot P_2 \cdot \Delta \vec{r}_{ij}^{AL}$$

c) Vector posição  $P_j$  no sistema TC

$$\vec{r}_j^{TC} = \vec{r}_i^{TC} + \Delta \vec{r}_{ij}^{TC}$$



$$\Delta \vec{r}_{ij}^{TC} = \begin{bmatrix} x_j - x_i \\ y_j - y_i \\ z_j - z_i \end{bmatrix}$$

$$P_2 = \begin{bmatrix} 1 & 0 & 0 \\ 0 & -1 & 0 \\ 0 & 0 & 1 \end{bmatrix}$$

Geodesia e Aplicações – Aula 1

FCUL-EG

8

## Posicionamento relativo

### 3.2 Terrestre Tridimensional – com $(\varphi, \lambda)$ e $(\eta, \xi)$

a) Transformar o vector topocêntrico (inter-estação) para sistema GL:

$$\Delta \vec{r}_{ij}^{GL} = R_3(A_{ij} - \alpha_{ij}) \cdot R_2(-\xi_i) \cdot R_1(\eta_i) \cdot \Delta \vec{r}_{ij}^{AL}$$

b) transformação para o sistema geodésico G

$$\Delta \vec{r}_{ij}^G = R_3(\pi - \lambda_i) \cdot R_2\left(\frac{\pi}{2} - \phi_i\right) \cdot P_2 \cdot \Delta \vec{r}_{ij}^{GL}$$

c) Vector posição  $P_j$  no sistema G

$$\vec{r}_j^G = \vec{r}_i^G + \Delta \vec{r}_{ij}^G$$

d) Transformação para TC

$$\vec{r}_j^{TC} = \vec{r}_0^{TC} + \mu \cdot R_1(\varepsilon_x) \cdot R_2(\varepsilon_y) \cdot R_2(\varepsilon_z) \cdot \vec{r}_j^G$$

Geodesia e Aplicações – Aula 1

FCUL-EG

9

## Posicionamento relativo

### 4. Métodos Extraterrestres (<http://www.iers.org/>)

a) Neste métodos de posicionamento, a partir de 2 ou mais pontos, são efectuadas medições em simultâneo para um ou mais objectos espaciais:

b) Dependendo do método utilizado, pode-se obter apenas a direcção do vector (co-senos directores) que une as estações, as distâncias ou, então, o vector completo (componentes);

c) A generalidade dos métodos:

- 1 – Sistema de posicionamento de Interferometria de base longa – VLBI;
- 2 – Sistemas de posicionamento relativo com *laser* – LLR e SLR;
- 3 – Sistema de Posicionamento - DORIS (*Détermination d'Orbit e Radiopositionnement Intégrés par Satellite*);
- 4 – Sistemas de Posicionamento via Satélite - GPS, Glonass e Galileo;
- 5 – Sistemas de posicionamento através da observação de direcções para os satélites (só dão os co-senos directores do vector inter-estação);

d) Ver descrição dos métodos em Vanicek and Krakiwsky (1981, §16.1) & Torgue (2003)

Geodesia e Aplicações – Aula 1

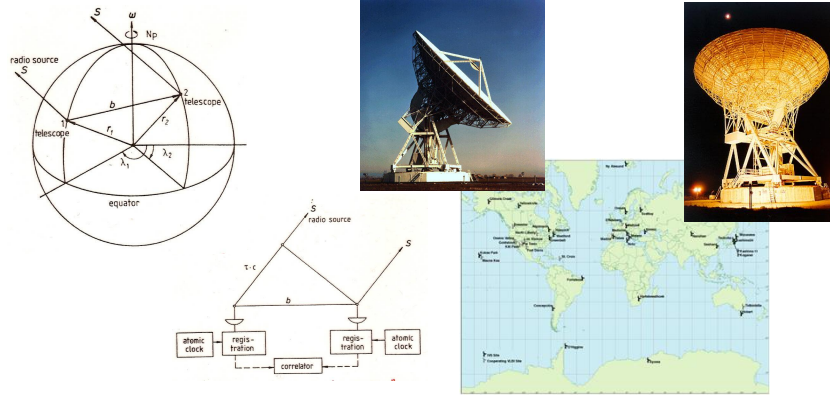
FCUL-EG

10

# Posicionamento relativo

## 4.1 VLBI (<http://ivscc.gsfc.nasa.gov/>)

a) Princípio do método de Rádio-Interferometria de base longa



Geodesia e Aplicações – Aula 1

FCUL-EG

11

# Posicionamento relativo

## 4.2 SLR - rede do ILRS

a) Uma estação envia cerca de  $10^{15}$  fótons/impulso e regressam apenas 2-3 fótons/impulso, suficiente para medir a distância estação-satélite.

(<http://ilrs.gsfc.nasa.gov/>)



Geodesia e Aplicações – Aula 1

FCUL-EG

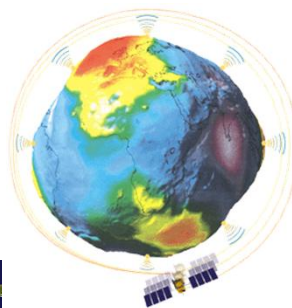
12

## Posicionamento relativo

### 4.3 DORIS (<http://ids.cls.fr/>)

a) O sistema baseia-se no efeito Doppler - a frequência do sinal recebido no satélite difere da frequência de transmissão na estação;

b) É utilizado para: determinação de órbitas; estudos do campo gravítico e da rotação da Terra; posicionamento de precisão e navegação de satélite.



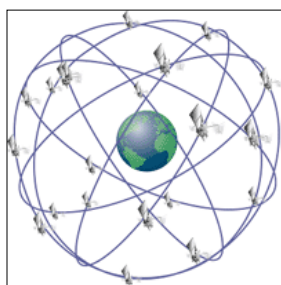
Geodesia e Aplicações – Aula 1

FCUL-EG

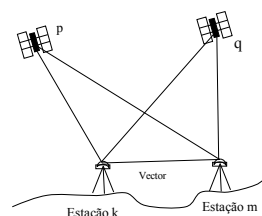
13

## Posicionamento relativo

### 4.4 GNSS



**Relativo/diferencial**  
(2 ou mais receptores)



$$(X_m, Y_m, Z_m) = (X_k, Y_k, Z_k) + (\Delta X, \Delta Y, \Delta Z)$$

Geodesia e Aplicações – Aula 1

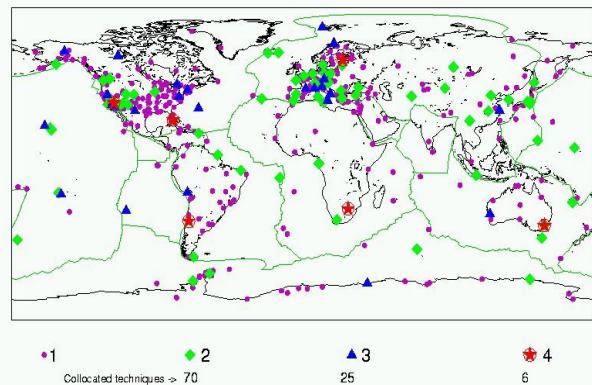
FCUL-EG

14

# Posicionamento relativo

## 4.5 Rede de Estações Permanentes do IGS

Primary ITRF2000 Sites and Collocated Techniques



Geodesia e Aplicações – Aula 1

FCUL-EG

15

# Problema Inverso da Geodesia

5. Definição: dadas as coordenadas de dois pontos  $P_i$  e  $P_j$  no sistema geodésico  $G$ , calcular a distância espacial, o azimuth e a distância zenital (coordenadas polares no sistema geodésico local  $GL$ ).

## 5.1 Posicionamento relativo tridimensional geodésico

$$\Delta \vec{r}_{ij}^{GL} = P_2 \cdot R_2 \left( \phi_i - \frac{\pi}{2} \right) \cdot R_3 (\lambda_i - \pi) \cdot \Delta \vec{r}_{ij}^G$$

$$\text{com } \Delta \vec{r}_{ij}^G = \begin{bmatrix} x_j - x_i \\ y_j - y_i \\ z_j - z_i \end{bmatrix}_G \text{ e } P_2 = \begin{bmatrix} 1 & 0 & 0 \\ 0 & -1 & 0 \\ 0 & 0 & 1 \end{bmatrix} \text{ matriz de inversão de } y$$

Geodesia e Aplicações – Aula 1

FCUL-EG

16



# Problema Inverso da Geodesia

## 5.1 Posicionamento relativo tridimensional geodésico

Resolvendo a seguinte relação em ordem às observações

$$\Delta \vec{r}_{ij}^{GL} = \Delta \vec{r}_{ij} \vec{u}_{ij}^{GL} = \Delta \vec{r}_{ij} \begin{bmatrix} \sin Z_{ij} \cos \alpha_{ij} \\ \sin Z_{ij} \sin \alpha_{ij} \\ \cos Z_{ij} \end{bmatrix}$$

obtém-se

$$\begin{cases} \Delta \vec{r}_{ij}^{GL} = \|\Delta \vec{r}_{ij}\| = \sqrt{\Delta x_{ij}^2 + \Delta y_{ij}^2 + \Delta z_{ij}^2} \\ \alpha_{ij}^{GL} = 2 \arctg \frac{\Delta y_{ij}}{\Delta x_{ij} + \sqrt{\Delta x_{ij}^2 + \Delta y_{ij}^2}} \\ Z_{ij}^{GL} = \arcsen(\Delta z_{ij} / \Delta r_{ij}) - \pi/2 \end{cases}$$

Estas fórmulas servem, por exemplo, para converter o vector de observação GPS em observações “clássicas”.

Geodesia e Aplicações – Aula 1

FCUL-EG

17

# Problema Inverso da Geodesia

## 5.2 Posicionamento relativo tridimensional astronómico

$$\Delta \vec{r}_{ij}^{AL} = P_2 \cdot R_2 \left( \Phi_i - \frac{\pi}{2} \right) \cdot R_3 (\Lambda_i - \pi) \cdot \Delta \vec{r}_{ij}^{TC}$$

ou

$$\Delta \vec{r}_{ij}^{AL} = R_1 (-\eta_i) \cdot R_2 (\xi) \cdot R_3 (-\delta \alpha_{ij}) \cdot \Delta \vec{r}_{ij}^{GL}$$

resultando

$$\begin{cases} \Lambda_{ij}^{AL} = 2 \arctg \frac{\Delta y_{ij}}{\Delta x_{ij} + \sqrt{\Delta x_{ij}^2 + \Delta y_{ij}^2}} \\ Z_{ij}^{AL} = \arcsen(\Delta z_{ij} / \Delta r_{ij}) - \pi/2 \end{cases}$$

Geodesia e Aplicações – Aula 1

FCUL-EG

18

# Posicionamento Vertical Relativo

## 6. Nivelamento trigonométrico

- Este tipo de posicionamento relaciona-se com a determinação da posição vertical (altitude) de um ponto em relação a outro – diferença de altitude ou nivelamento;
- A determinação de desníveis com base no nivelamento trigonométrico requer a observação das distâncias zenitais e observação ou cálculo (prob. inverso) da distância elipsoidal;
- A refracção vertical provoca erros nos valores observados das distâncias zenitais (os valores angulares sofrem um desvio colocando a direcção aparente da visada mais elevada do que a direcção verdadeira);
- As zenitais recíprocas e simultâneas eliminam este efeito;

Geodesia e Aplicações – Aula 1

FCUL-EG

19

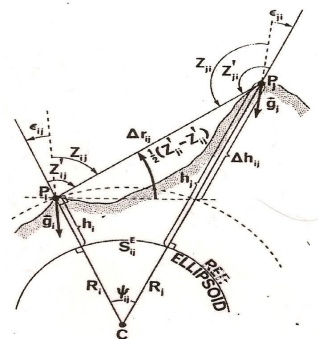
# Posicionamento Vertical Relativo

## 6.1 Nivelamento trigonométrico

- Observações:  $Z_{ij}$  e  $Z_{ji}$
- Cálculos:  $S_{ij}^E$  e  $\alpha_{ij}$ , desvios  $\varepsilon_{ij}$  e  $\varepsilon_{ji}$
- As distâncias zenitais verdadeiras  $Z_{ij}$  e  $Z_{ji}$  devem ser corrigidas dos desvios da vertical para serem convertidos em distâncias zenitais geodésicas  $Z'_{ij}$  e  $Z'_{ji}$ :

$$\varepsilon_{ij} = \xi_i \cos(\alpha_{ij}) + \eta_j \sin(\alpha_{ij})$$

$$\varepsilon_{ji} = \xi_j \cos(\alpha_{ji}) + \eta_i \sin(\alpha_{ji})$$



Geodesia e Aplicações – Aula 1

FCUL-EG

20

## Posicionamento Vertical Relativo

### 6.1 Nivelamento trigonométrico

d) Os azimutes geodésicos como não são observados (via azimute astronómico) em todos os vértices (somente 1 a 3 azimutes), eles têm que ser deduzidos das coordenadas geodésicas dos pontos através do problema inverso;

e) Zenitais reduzidas:  $Z'_{ij} = Z_{ij} + \xi_i \cos(\alpha_{ij}) + \eta_i \sin(\alpha_{ij})$   
 $Z'_{ji} = Z_{ji} + \xi_j \cos(\alpha_{ji}) + \eta_j \sin(\alpha_{ji})$

f) As distâncias geodésicas não são observadas entre todos os vértices (somente 1 a 3 distâncias), por isso, têm que ser deduzidas das coordenadas geodésicas dos pontos através do problema inverso;

## Posicionamento Vertical Relativo

### 6.1 Nivelamento trigonométrico

g) Para linhas curtas (< 10 Km) é suficiente considerar a distância geodésica “s” entre os pontos  $P_i$  e  $P_j$  igual ao arco esférico de raio  $R=(a+b)/2$  (solução esférica do problema inverso);

h) Após a redução das zenitais e do cálculo da distância geodésica é possível determinar o desnível geodésico, e

$$h_j = h_i + \Delta h_{ij} = h_i + s_{ij} \left( 1 + \frac{h_m}{R} + \frac{s_{ij}^2}{12R^2} \right) \lg \left( \frac{Z'_{ji} - Z'_{ij}}{2} \right)$$

i) Onde  $h_m$  é a altitude média ( $h=(h_1+h_2)/2$ ). Esta depende de  $h_j$ , por isso o cálculo é feito em duas iterações, no entanto, como os desníveis são pequenos é suficiente considerar a altitude média igual à altitude de  $i$ .

# Posicionamento Vertical Relativo

## 6.1 Nivelamento trigonométrico

- g) Em condições óptimas, este processo, permite precisões da ordem de  $\sigma_z = 1''$  e  $\sigma_{\Delta h} = 10$  cm, para comprimentos de 10 Km. Na prática a precisão é relativamente inferior;
- h) Por esta razão, e devido ao aparecimento do sistema GPS associado aos mais recentes modelos de geóide, este método de nivelamento trigonométrico na geodesia está em desuso;
- i) A altimetria de toda a rede geodésica, desde a 1ª à 3ª ordem, foi calculada com base no nivelamento trigonométrico, por vezes sem observação de zenitais recíprocas;
- j) Com o GPS e um simples método de geóide consegue-se avaliar a imprecisão da rede altimétrica.

Geodesia e Aplicações – Aula 1

FCUL-EG

23

# Conversão de coordenadas

## 7. Coordenadas geodésicas

- a) Com frequência na geodesia é necessário recorrer às posições no elipsóide associado a um sistema de referência, para isso torna-se necessário fazer a conversão de coordenadas entre geodésicas elipsoidais e rectangulares;

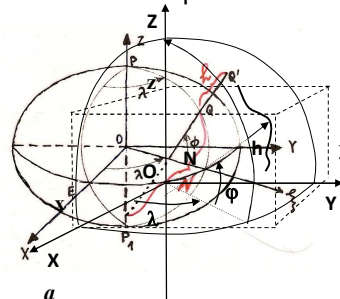
### b) Conversão directa

$$(\varphi, \lambda, h) \rightarrow (x, y, z)$$

$$x_p = (N + h_p) \cos \varphi_p \cos \lambda_p$$

$$y_p = (N + h_p) \cos \varphi_p \sin \lambda_p$$

$$z_p = [N(1 - e^2) + h_p] \sin \varphi_p$$



$$N = \frac{a}{\sqrt{1 - e^2 \sin^2 \varphi}}$$

Geodesia e Aplicações – Aula 1

FCUL-EG

24

## Conversão de coordenadas

### 7. Coordenadas geodésicas

c) Conversão inversa  $(x,y,z) \rightarrow (\varphi,\lambda,h)$

1- Cálculo da longitude  $\lambda$   $tg\lambda = \frac{Y_\varrho}{X_\varrho} \Rightarrow \lambda = arctg\left(\frac{Y_\varrho}{X_\varrho}\right)$

2- Cálculo da latitude  $\varphi$  (Método iterativo de H&M)

$$tg\varphi = \frac{Z_\varrho}{\sqrt{X_\varrho^2 + Y_\varrho^2}} \left\{ 1 + \frac{e^2 N sen\varphi}{Z_\varrho} \right\}$$

com valor inicial dado por:  $tg\varphi^{(0)} = \frac{Z_\varrho}{\sqrt{X_\varrho^2 + Y_\varrho^2}} \left\{ \frac{1}{1-e^2} \right\}$

## Conversão de coordenadas

### 7. Coordenadas geodésicas

c) Conversão inversa  $(x,y,z) \rightarrow (\varphi,\lambda,h)$

3- Cálculo da altitude  $h$

$$h = \frac{\sqrt{X_\varrho^2 + Y_\varrho^2}}{\cos\varphi} - N$$

ou

$$h = \frac{Z_\varrho^2}{sen\varphi} - N + e^2 N$$

# Transformação de Coordenadas

## 5. Transformação tridimensional de Helmert entre STC

a) A transformação entre dois sistemas tridimensionais cartesianos é realizada, normalmente, através de uma Transformação de Helmert a 7 parâmetros (3 translações, 3 rotações e um factor de escala),:

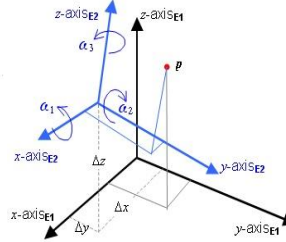
$$\vec{X}_T = \vec{c} + \mu R \vec{X}$$

onde

$$\vec{c} = \begin{bmatrix} c_1 \\ c_2 \\ c_3 \end{bmatrix} \text{ e } R = \begin{bmatrix} 1 & d\alpha_3 & -d\alpha_2 \\ -d\alpha_3 & 1 & d\alpha_1 \\ d\alpha_2 & -d\alpha_1 & 1 \end{bmatrix}$$

Na sua forma matricial, para transformações com pequenas rotações, designa de **Método de Transformação Bursa-Wolf**.

Rotações no sentido anti-horário, de acordo com o método "Coordinate Frame Rotation Transformation" (sentido horário: método "Position Vector Transformation")



# Transformação de Coordenadas

## 5.1 Transformação tridimensional de Helmert

b) Este tipo de transformação tem a vantagem de não ser necessário o conhecimento de informação *a priori* do sistema geodésico (parâmetros do elipsóide), é função apenas das coordenadas dos dois sistemas;

c) Basta unicamente o conhecimento de 3 pontos no espaço com coordenadas conhecidas nos dois sistemas para se determinar o conjunto de parâmetros;

d) Para a determinação de 7 parâmetros são necessárias 7 equações no mínimo;

e) Cada ponto contribui com 3 equações de relação, uma por cada coordenada;

f) Se ambos os sistemas têm os seus eixos paralelos, então são necessários apenas 4 parâmetros, as 3 translações e o factor de escala;

g) O factor de escala teoricamente não existe (escala unitária), mas devido à imprecisão das observações e à utilização de escalas de comprimento diferentes (metro padrão, velocidade da luz vezes unidade de tempo, etc.), resulta sempre um pequeno factor de escala próximo da unidade,  $\mu = 1 + d\mu$ .

# Transformação de Coordenadas

## 5.1 Transformação tridimensional de Helmert

h) Como os eixos normalmente são quase paralelos, as rotações resultam muito pequenas, e sendo os ângulos muito pequenos as funções co-seno e seno simplificam-se ( $\cos d\alpha \approx 1$ ,  $\sin d\alpha \approx d\alpha$ ) dando origem a uma matriz de rotação (produto de 3 matrizes de rotação) muito simplificada:

$$R = \begin{bmatrix} 1 & d\alpha_3 & -d\alpha_2 \\ -d\alpha_3 & 1 & d\alpha_1 \\ d\alpha_2 & -d\alpha_1 & 1 \end{bmatrix} = I + dR$$

i) O sistema de equações deve ser escrito na forma de modelo linearizado, e com redundância de dados (mais de 3 pontos) o sistema é resolvido pelo **método de ajustamento de mínimos quadrados**:

$$A_i \cdot d\vec{p} = \vec{L}$$

$$d\vec{p} = (A_i^T \cdot A_i)^{-1} \cdot A_i^T \cdot \vec{L}$$

# Transformação de Coordenadas

## 5.1 Transformação tridimensional de Helmert

j) Na relação inicial do sistema de equações deve-se considerar o seguinte:

$$\vec{c} = (\vec{c}) + d\vec{c}; \quad \mu = 1 + d\mu; \quad R = I + dR$$

resultando:  $\vec{X}_{T_i} - \vec{X}_i - (\vec{c}) = d\vec{c} + d\mu\vec{X} + dR\vec{X}$

k) Obtém-se então o sistema na forma linearizada:  $A_i \cdot d\vec{p} = \vec{L}_i$

onde:

$$A_i = \begin{bmatrix} 1 & 0 & 0 & x_i & 0 & -z_i & y_i \\ 0 & 1 & 0 & y_i & z_i & 0 & -x_i \\ 0 & 0 & 1 & z_i & -y_i & x_i & 0 \end{bmatrix} \quad \vec{L}_i = \begin{bmatrix} x_{T_i} - x_i - c_1 \\ y_{T_i} - y_i - c_2 \\ z_{T_i} - z_i - c_3 \end{bmatrix}$$

com  $\vec{L}_i = \vec{0}$

$$d\vec{p} = [dc_1 \quad dc_2 \quad dc_3 \quad d\mu \quad d\alpha_1 \quad d\alpha_2 \quad d\alpha_3]^T$$

# Transformação de Coordenadas

## 5.1 Transformação tridimensional de Helmert

∴ Em resumo:

- escolhe-se um conjunto de pontos (>2) nos quais são conhecidas as coordenadas em ambos os sistemas;
- determinam-se os parâmetros por mínimos quadrados;
- aplicam-se os parâmetros pela relação inicial aos restantes pontos dos quais só se conhecem as coordenadas num dos sistemas.

∴ A transformação inversa é simétrica, i.é., basta aplicar os parâmetros com sinal contrário

# Transformação de Coordenadas

## 5.2 Parâmetros Nacionais da Transformação de Helmert

a) (sentido das rotações: horário, "Position Vector Transformation")

ETRS89 para:	$\Delta X$ (m)	$\Delta Y$ (m)	$\Delta Z$ (m)	$R_x$ (")	$R_y$ (")	$R_z$ (")	Escala (ppm)
Datum Lx	+283.088	+70.693	-117.445	+1.157	-0.059	+0.652	+4.058
Datum 73	+230.994	-102.591	-25.199	-0.633	+0.239	-0.900	-1.950

b) (sentido das rotações: horário, "Position Vector Transformation")

Datum 73 para:	$\Delta X$ (m)	$\Delta Y$ (m)	$\Delta Z$ (m)	$R_x$ (")	$R_y$ (")	$R_z$ (")	Escala (ppm)
Datum Lx	+49.137	+179.924	-95.757	-2.00	+0.33	-1.42	+6.80
ED50	-170.885	+223.069	+141.98	-0.79	-0.22	-0.65	+5.63

Nota: O IGP (DGT) aplica as rotações de acordo com "Position Vector Transformation"



# Transformação de Coordenadas

## 5.2 Parâmetros Nacionais da Transformação de Bursa-Wolf

### c) Aplicação dos Parâmetros na Transformação de Coordenadas

DX (m)	DY (m)	DZ (m)	Esc (ppm)	Rot. X (")	Rot. Y (")	Rot. Z (")
-231,03	102,62	26,84	1,786	-0,615	0,198	1,786
1,00000179 -2,9816E-06 9,5993E-07 8,6588E-06						

$$\begin{bmatrix} X \\ Y \\ Z \end{bmatrix}_{ETRS9} = \begin{bmatrix} DX + \mu X & +\mu\alpha_3 Y & -\mu\alpha_2 Z \\ DY - \mu\alpha_3 X & +\mu Y & +\mu\alpha_1 Z \\ DZ + \mu\alpha_2 X & -\mu\alpha_1 Y & +\mu Z \end{bmatrix}_{D73}$$

**X= 4936172,422m**  
**Y= -615880,0092m**  
**Z= 3979409,019m**

$$\begin{array}{rcllclcl} \mathbf{X=} & -231,030 & 4936181,238 & -5,333 & -3,820 & = & \mathbf{4935941,056m} \\ \mathbf{Y=} & 102,620 & -42,741 & -615881,109 & -11,865 & = & \mathbf{-615833,095m} \\ \mathbf{Z=} & 26,840 & 4,738 & -1,836 & 3979416,127 & = & \mathbf{3979445,869m} \end{array}$$